

Математичне моделювання падіння кулі, яка обертається та збільшує масу

Василь Ольшанський¹, Станіслав Ольшанський², Костянтин Аврамов³

¹ д. ф-м. н., професор, Харківський національний технічний університет сільського господарства ім. Петра Василенка, вул. Артема, 44, Харків, 61002

² Національний технічний університет «Харківський політехнічний інститут», вул. Фрунзе, 21, Харків, 61002, e-mail: stasolsh@mail.ru

³ д. т. н., професор, п. н. с., Інститут проблем машинобудування ім. А. Н. Підгорного НАН України, вул. Д. Пожарського, 2/10, Харків, 61046, e-mail: kavramov@ipmach.kharkov.ua

Розв'язано задачу про падіння однорідної кулі зростаючого радіуса з вертикальною віссю обертання без урахування опору зовнішнього середовища. За експонентного закону зростання радіуса кулі в часі перші та другі інтеграли рівнянь руху подано через відомі функції та досліджено особливості руху у разі дії сили Магнуса. Для знаходження кутової швидкості обертання кулі використано закон збереження кінетичного моменту. Розглянуто також випадок руху кулі зі сталою кутовою швидкістю.

Ключові слова: куля зростаючого радіуса, швидкість, збільшення маси, сила Магнуса, спеціальні функції.

Вступ. Рух тіл змінної маси, окрім ракетодинаміки, спостерігається в різноманітних технологічних процесах. Це політ згораючих частинок рідкого та твердого палива [1, 2], рух крапель диспергованих вогнегасних рідин, які випаровуються у високотемпературному середовищі [3], а також падіння коагулюючих частинок в атмосфері [4, 5]. Тому вивчення балістичних характеристик тіл, які зменшують або збільшують свої розміри та масу в процесі польоту, є актуальна задача, на що свого часу звертав увагу І. В. Мещерський [6]. Водночас обертання тіл у процесі польоту їх у газовому чи рідинному середовищі супроводжується дією сили Магнуса [7]. Ця сила зумовлює викривлення траєкторії руху. Тому частинка, яка обертається, не може в загальному випадку рухатися прямолінійно навіть під час її падіння в гравітаційному полі. Від дії сили Магнуса залежить швидкість руху. Її вплив на процес польоту досліджено, переважно, для тіл сталих розмірів і маси [8]. Менш вивченим залишається вплив цієї сили на рух тіл змінних розмірів, що є предметом цього дослідження.

Таким чином метою проведеного дослідження є вивчення впливу сили Магнуса на кінематичні характеристики польоту однорідної сферичної частинки, радіус якої змінюється з часом.

1. Постановка та розв'язування задачі Коші

Розв'яжемо задачу в спрощеній постановці, без урахування впливу сил опору зовнішнього середовища. Такий підхід дозволяє побудувати аналітичні розв'язки задачі, що з прийнятною точністю моделює рух сферичних тіл, які на початковому етапі руху швидко обертаються в нерухомому газовому середовищі.

Вважаємо, що вісь обертання сферичного тіла є вертикальна та спрямована в протилежному напрямку до осі Oz координатної системи (див. рис. 1).

За вказаної орієнтації осі обертання проекції сили Магнуса на осі координат можна обчислити за формулами

$$F_{mx} = \frac{8\pi}{3} \delta r^3 \omega \dot{y}; \quad F_{my} = -\frac{8\pi}{3} \delta r^3 \omega \dot{x}; \quad F_{mz} = 0,$$

де δ — густина газового середовища; ω — кутова швидкість обертання кулі радіуса $r = r(t)$; t — час; \dot{x}, \dot{y} — проекції швидкості лінійного руху центру мас кулі на осі Ox і Oy відповідно.

Без урахування опору середовища в однорідному полі гравітації рух тіла маси $m = m(t)$ описується рівняннями

$$m\ddot{x} = F_{mx} - \mu \dot{x}\dot{m}; \quad m\ddot{y} = F_{my} - \mu \dot{y}\dot{m}; \quad m\ddot{z} = F_{mz} - \mu \dot{z}\dot{m}. \quad (1)$$

Тут коефіцієнт μ ($0 < \mu < 1$) корегує величину реактивної сили, яку зумовлено збільшенням маси; g — прискорення вільного падіння; крапка над символом означає похідну за часом t .

Зростання радіуса кулі підпорядковуємо експоненціальній залежності

$$r = r(t) = r_0 \exp(\lambda t), \quad (2)$$

в якій $r_0 = r(0)$; стала $\lambda > 0$ характеризує темп зростання.

Оскільки маса однорідної кулі густини ρ пропорційна r^3

$$m = \frac{4}{3} \pi \rho r^3,$$

то

$$\frac{1}{m} \frac{dm}{dt} = 3 \frac{\dot{r}}{r}. \quad (3)$$

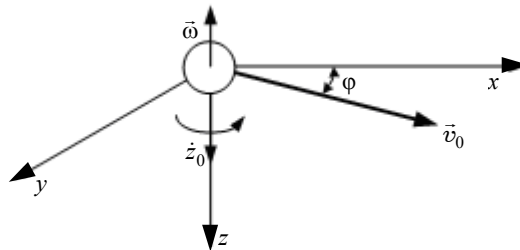


Рис. 1. Розрахункова схема

З урахуванням (3) та проекцій сили Магнуса рівняння руху (1) набувають вигляду

$$\begin{aligned}\ddot{x} &= \frac{2\delta}{\rho}\omega\dot{y} - 3\mu\frac{\dot{r}}{r}\dot{x}; \\ \ddot{y} &= -\frac{2\delta}{\rho}\omega\dot{x} - 3\mu\frac{\dot{r}}{r}\dot{y}; \\ \ddot{z} &= g - 3\mu\frac{\dot{r}}{r}\dot{z}.\end{aligned}\quad (4)$$

Рівняння (4) розв'язуємо за таких початкових умов

$$\dot{x}(0) = v_0 \cos \varphi; \quad \dot{y}(0) = v_0 \sin \varphi; \quad \dot{z}(0) = \dot{z}_0, \quad x(0) = y(0) = z(0) = 0. \quad (5)$$

Тут v_0 — проекція стартової лінійної швидкості центра мас на горизонтальну площину xOy , а φ — кут, який утворює ця проекція з віссю Ox .

Для вибраного експоненціального закону зміни радіуса (2)

$$\dot{r}/r = \lambda = \text{const}.$$

Тоді дослідження руху зводиться до побудови розв'язку рівнянь

$$\begin{aligned}\ddot{x} &= \frac{2\delta}{\rho}\omega\dot{y} - a\dot{x}; \\ \ddot{y} &= -\frac{2\delta}{\rho}\omega\dot{x} - a\dot{y}; \\ \ddot{z} &= g - a\dot{z},\end{aligned}\quad (6)$$

де $a = 3\mu\lambda$.

Виразимо $\dot{x}(t)$, $\dot{y}(t)$ через допоміжні функції $\dot{x}_1(t)$, $\dot{y}_1(t)$

$$\dot{x}(t) = \dot{x}_1(t) \exp(-at); \quad \dot{y}(t) = \dot{y}_1(t) \exp(-at). \quad (7)$$

Підставивши вирази (7) у формули (6), одержуємо

$$\ddot{x}_1 = \frac{2\delta}{\rho}\omega\dot{y}_1; \quad \ddot{y}_1 = -\frac{2\delta}{\rho}\omega\dot{x}_1; \quad \ddot{z} = g - a\dot{z}.$$

Із перших двох рівнянь, вилучивши \dot{y}_1 і \ddot{y}_1 , отримаємо

$$\ddot{\eta} - \frac{\dot{\omega}}{\omega}\dot{\eta} + \left(\frac{2\delta}{\rho}\right)^2 \omega^2 \eta = 0, \quad (8)$$

де $\eta = \dot{x}_1(t)$.

Щоб встановити величину $\dot{\omega}\omega^{-1}$ скористаємося законом збереження кінетичного моменту у вигляді

$$r\dot{\omega} + 5v\dot{r}\omega = 0. \quad (9)$$

Тут v ($0 < v < 1$) корегує величину реактивного моменту, який зумовлено збільшенням радіуса кулі.

Із співвідношення (9) випливає, що

$$\frac{\dot{\omega}}{\omega} = -5v \frac{\dot{r}}{r}. \quad (10)$$

Рівняння (8) з урахуванням (10) набуває вигляду

$$\ddot{\eta} + 5v \frac{\dot{r}}{r} \dot{\eta} + \left(\frac{2\delta}{\rho} \right)^2 \omega^2 \eta = 0. \quad (11)$$

Рівняння (10) за початкової умови $\omega(0) = \omega_0$ має розв'язок

$$\omega(t) = \omega_0 \left(\frac{r}{r_0} \right)^{-5v} = \omega_0 \exp(-5v\lambda t). \quad (12)$$

Враховуючи формули (2) та (12), замість (11) одержуємо лінійне рівняння, у якому один із коефіцієнтів змінюється за експонентним законом

$$\ddot{\eta} + 5v\lambda \dot{\eta} + \left(\frac{2\delta\omega_0}{\rho} \right)^2 \exp(-10v\lambda t) \eta = 0. \quad (13)$$

Замінімо змінну t в (13) на ξ за формулою

$$\xi = \exp(-5v\lambda t).$$

Тоді

$$\frac{d\eta}{dt} = -5v\lambda \xi \frac{d\eta}{d\xi}; \quad \frac{d^2\eta}{dt^2} = 25v\lambda \xi \left(\frac{d\eta}{d\xi} + \xi \frac{d^2\eta}{d\xi^2} \right)$$

і рівняння (13) набуває форми рівняння вільних коливань осцилятора

$$\frac{d^2\eta}{d\xi^2} + b^2\eta = 0, \quad (14)$$

$$\text{де } b = \frac{2\delta\omega_0}{5v\lambda\rho}.$$

Із точністю до сталих c_1 і c_2 загальний розв'язок рівняння (14) має вигляд

$$\eta(\xi) = \dot{x}_1(t) = c_1 \sin(b\xi) + c_2 \cos(b\xi). \quad (15)$$

Таким чином, використовуючи (7) і (15), одержуємо

$$\dot{x}(t) = \exp(-at) \{ c_1 \sin[b \exp(-5v\lambda t)] + c_2 \cos[b \exp(-5v\lambda t)] \}. \quad (16)$$

Відповідно до першого рівняння системи (4) та виразу (16) проекція швидкості центру мас на вісь Oy є така

$$\dot{y}(t) = \exp(-at) \left\{ -c_1 \cos [b \exp(-5v\lambda t)] + c_2 \sin [b \exp(-5v\lambda t)] \right\}. \quad (17)$$

Значення констант c_1, c_2

$$c_1 = v_0 \left[\frac{\cos \varphi}{\sin b} - \cos(b - \varphi) \operatorname{ctg}(b) \right]; \quad c_2 = v_0 \cos(b - \varphi),$$

одержуємо з використанням початкових умов (5).

Розв'язок третього рівняння системи (6) має вигляд

$$\dot{z}(t) = \frac{g}{a} + c_3 \exp(-at), \quad (18)$$

де $c_3 = \dot{z}_0 - g/a$.

Таким чином, перші інтеграли рівнянь руху (6) подаються через елементарні функції.

Проекції центру мас на траєкторії польоту визначимо інтегруванням

$$x(t) = \int_0^t \dot{x}(t) dt, \quad y(t) = \int_0^t \dot{y}(t) dt, \quad z(t) = \int_0^t \dot{z}(t) dt. \quad (19)$$

Третій інтеграл у співвідношеннях (19) виражається через елементарні функції

$$z(t) = a^{-1} [gt - c_3 \exp(-at)]. \quad (20)$$

Водночас для обчислення $x(t)$ і $y(t)$ маємо

$$\begin{aligned} x(t) &= c_1 I_1(t) + c_2 I_2(t), \\ y(t) &= -c_1 I_2(t) + c_2 I_1(t). \end{aligned}$$

Тут

$$\begin{aligned} I_1(t) &= -\frac{1}{cb^\alpha} \int_b^{be^{-ct}} \theta^{\alpha-1} \sin \theta d\theta, \\ I_2(t) &= -\frac{1}{cb^\alpha} \int_b^{be^{-ct}} \theta^{\alpha-1} \cos \theta d\theta, \quad \alpha = a/c, \quad c = 5v\lambda > 0. \end{aligned}$$

Ці квадратури відомі як узагальнені інтеграли Френеля [9]. Їх можна виразити через гіпергеометричні функції, а саме

$$\begin{aligned} I_1(t) &= \frac{1}{cb^\alpha (\alpha + 1)} \left\{ b^{1+\alpha} {}_1F_2 \left(\frac{\alpha + 1}{2}; \frac{3}{2}; 1 + \frac{\alpha + 1}{2}; -\frac{1}{4} b^2 \right) - \right. \\ &\left. - [b \exp(-ct)]^{1+\alpha} {}_1F_2 \left(\frac{\alpha + 1}{2}; \frac{3}{2}; 1 + \frac{\alpha + 1}{2}; -\frac{b^2}{4} \exp(-2ct) \right) \right\}; \end{aligned}$$

$$I_1(t) = \frac{1}{cb^\alpha \alpha} \left\{ b^\alpha {}_1F_2 \left(\frac{\alpha}{2}; \frac{1}{2}; 1 + \frac{\alpha}{2}; -\frac{1}{4} b^2 \right) - \right. \\ \left. - [b \exp(-ct)]^\alpha {}_1F_2 \left(\frac{\alpha}{2}; \frac{1}{2}; 1 + \frac{\alpha}{2}; -\frac{b^2}{4} \exp(-2ct) \right) \right\}.$$

Інтеграли $I_1(t)$ й $I_2(t)$ лише в окремих випадках визначаються через елементарні чи протабульовані спеціальні функції. Розглянемо деякі з них. Найпростіший випадок маємо, якщо $\alpha = 1$ або $5\nu = 3\mu$. Тоді

$$I_1(t) = \frac{1}{ab} \{ \cos [b \exp(-at)] - \cos b \}, \quad I_2(t) = \frac{1}{ab} \{ \sin b - \sin [b \exp(-at)] \}.$$

До елементарних функцій зводиться обчислення $I_1(t)$ й $I_2(t)$ та для інших цілих значень α . Наприклад, якщо $\alpha = 2$, то

$$I_1(t) = \frac{1}{cb^2} \{ b \exp(-ct) \cos [b \exp(-ct)] - b \cos b + \sin b - \sin [b \exp(-ct)] \}, \\ I_2(t) = \frac{1}{cb^2} \{ b \sin b - b \exp(-ct) \sin [b \exp(-ct)] + \cos b - \cos [b \exp(-ct)] \}.$$

Для $\alpha = 0$, $\mu = 0$ без урахування дії реактивної сили отримуємо

$$I_1(t) = \frac{1}{c} \{ \text{Si}(b) - \text{Si}[b \exp(-ct)] \}, \\ I_2(t) = \frac{1}{c} \{ \text{Ci}[b \exp(-ct)] - \text{Ci}(b) \},$$

тобто квадратури визначаються через інтегральний синус $\text{Si}(z)$ та інтегральний косинус $\text{Ci}(z)$. Ці функції протабульовані в [10, 11] та інших довідниках із спеціальних функцій.

Розглянемо також випадок дробових значень α . Якщо $\alpha = 1/2$ або $3\mu = 2,5\nu$, то

$$I_1(t) = \frac{\sqrt{2\pi}}{c\sqrt{b}} \{ S_2(b) - S_2[b \exp(-ct)] \}, \\ I_2(t) = \frac{\sqrt{2\pi}}{c\sqrt{b}} \{ C_2(b) - C_2[b \exp(-ct)] \},$$

тобто квадратури визначаються через інтеграли Френеля $C_2(\xi)$, $S_2(\xi)$, таблиці яких наведені в [11].

Якщо врахувати співвідношення [10]

$$C_2(\xi) = C \left(\frac{\sqrt{2\xi}}{\sqrt{\pi}} \right), \quad S_2(\xi) = S \left(\frac{\sqrt{2\xi}}{\sqrt{\pi}} \right),$$

то для обчислень $C_2(\xi)$ й $S_2(\xi)$ можна використовувати також таблиці $C(\xi)$ й $S(\xi)$, які є в [10].

Якщо $\alpha = 3/2$, то

$$I_1(t) = \frac{1}{cb} \left\{ \exp\left(-\frac{ct}{2}\right) \cos[b \exp(-ct)] - \cos b \right\} + \\ + \frac{\sqrt{\pi}}{\sqrt{2cb}^{3/2}} \left\{ C_2(b) - C_2[b \exp(-ct)] \right\}, \\ I_2(t) = \frac{1}{cb} \left\{ \sin b - \exp\left(-\frac{ct}{2}\right) \sin[b \exp(-ct)] \right\} + \\ + \frac{\sqrt{\pi}}{\sqrt{2cb}^{3/2}} \left\{ S_2[b \exp(-ct)] - S_2(b) \right\}.$$

До інтегралів Френеля зводиться обчислення квадратур і для інших дробових α . Одержані вище розв'язки відповідають $v > 0$. Вони вироджуються, якщо $v = 0$. У цьому випадку куля обертається зі сталою швидкістю $\omega = \omega_0$ і

$$\dot{x}(t) = v_0 \exp(-at) [\cos \varphi \cos(pt) - \sin \varphi \sin(pt)], \\ \dot{y}(t) = v_0 \exp(-at) [\sin \varphi \cos(pt) + \cos \varphi \sin(pt)], \\ x(t) = \frac{v_0}{a^2 + p^2} \left\{ \cos \varphi [p \sin(pt) - a \cos(pt)] \exp(-at) + a \cos \varphi + \right. \\ \left. + \sin \varphi [a \sin(pt) + p \cos(pt)] \exp(-at) - p \sin \varphi \right\}, \\ y(t) = \frac{v_0}{a^2 + p^2} \left\{ \sin \varphi [p \sin(pt) - a \cos(pt)] \exp(-at) + a \sin \varphi + \right. \\ \left. + p \cos \varphi - \cos \varphi [a \sin(pt) + p \cos(pt)] \exp(-at) \right\},$$

де $p = 2\delta\omega_0\rho^{-1}$.

2. Числові розрахунки

Розглянемо, як впливає кутова швидкість на траєкторію польоту частинки. Приймемо такі вихідні дані: $r_0 = 2 \cdot 10^{-3}$ м; $\lambda = 1,5$ с⁻¹; $\rho = 1\,000$ кг/м³; $\delta = 1$ кг/м³; $\varphi = 45^\circ$; $v_0 = 5$ м/с; $\dot{z}_0 = 1$ м/с; $\mu = 0,1$; $v = 0,3$.

На рис. 2 цифрами 1, 2, 3 позначено криві, які отримані для значень $\omega_0 = 1\,000, 2\,000, 3\,000$ с⁻¹. Зі зростанням початкової кутової швидкості зростають сила Магнуса та відхилення траєкторії від площини, утвореної вектором початкової швидкості та віссю Oz .

Рис. 3 ілюструє вплив коефіцієнта λ на траєкторію руху. Криві 1-3 відповідають значенням $\lambda = 1; 1,5; 2$ кг/м³, $\omega = 2\,000$ с⁻¹, а решта параметрів такі, як на рис. 2. Зі зростанням інтенсивності наростання маси вплив сили Магнуса на рух тіла зменшується.

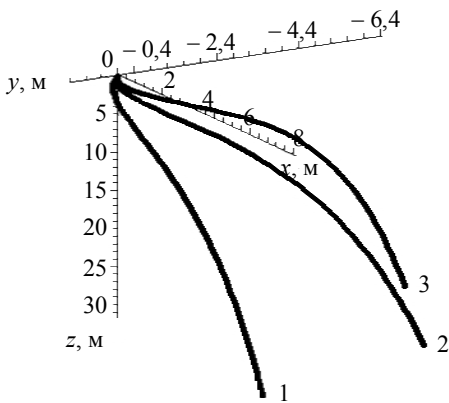


Рис. 2. Траєкторії руху центру мас кулі для різних ω

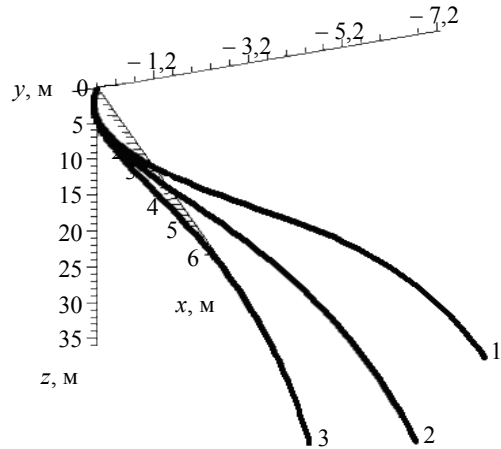


Рис. 3. Траєкторії центру мас кулі для різних λ

Висновок. Показано, що у випадку експоненціального закону збільшення радіуса кулі в часі й обертання її навколо вертикальної осі, без урахування сили опору середовища, перші інтеграли рівняння руху подаються через елементарні функції, а другі зводяться до узагальнених інтегралів Френеля, які визначаються через гіпергеометричні функції. Сила Магнуса змінює траєкторію падіння кулі, яка стає просторовою лінією.

Література

- [1] Воинов, А. Н. Сгорание в быстроходных поршневых двигателях / А. Н. Воинов. — Москва: Машиностроение, 1977. — 277 с.
- [2] Современные дизели: повышение топливной экономичности и длительной прочности / Ф. И. Абрамчук, А. П. Марченко, Н. Ф. Разлейцев и др. — Киев: Техника, 1992. — 272 с.
- [3] Балістика крапель, які випаровуються при польоті / С. І. Кучеренко, В. П. Ольшанський, С. В. Ольшанський, Л. М. Тищенко. — Харків: ХНТУСГ, 2007. — 304 с.
- [4] Матвеев, Л. Т. Основы общей метеорологии. Физика атмосферы / Л. Т. Матвеев. — Ленинград: Гидрометеоздат, 1965. — 751 с.
- [5] Хргиан, А. Х. Физика атмосферы / А. Х. Хргиан. — Ленинград: Гидрометеоздат, 1969. — 320 с.
- [6] Мецкерский, И. В. Работы по механике тел переменной массы / И. В. Мецкерский. — Москва: ГИТТЛ, 1952. — 276 с.
- [7] Прандтль, Л. Эффект Магнуса и ветряной корабль / Л. Прандтль // Успехи физических наук. — 1925. — Т. V, вып. 1-2. — С. 1-27.
- [8] Сагитов, М. Н. О движении вращающегося шара постоянной и переменной массы: автореф. дис. ... канд. физ.-мат. наук: 01.02.01 «Теоретическая механика» / Сагитов М. Н. — Алма-Ата, 1965. — 14 с.
- [9] Прудников, А. П. Интегралы и ряды / А. П. Прудников, Ю. А. Брычков, О. И. Маричев. — Москва: Наука, 1981. — 800 с.
- [10] Абрамовиц, А. Справочник по специальным функциям (с формулами, графиками и математическими таблицами) / А. Абрамовиц, И. Стиган. — Москва: Наука, 1979. — 832 с.
- [11] Янке, Е. Специальные функции / Е. Янке, Ф. Эмде, Ф. Лёш. — Москва: Наука, 1977. — 344 с.

About modeling fall of a sphere, which rotates and increases mass

Vasily Olshanskii, Stanislav Olshanskii, Konstantin Avramov

The equations of fall of a homogeneous sphere of growing radius with a vertical axis of rotation without the account of resistance of external environment are solved. At the exponential law of increase of radius of a sphere in time the first and second integrals of the equation of motion are expressed through known functions. For a presence of angular velocity of rotation of a sphere the law of preservation of the kinetically moment is used. The case of motion of a sphere with constant angular speed is considered.

О моделировании падения шара, который вращается и увеличивает массу

Василий Ольшанский, Станислав Ольшанский, Константин Аврамов

Решена задача падения однородного шара возрастающего радиуса с вертикальной осью вращения без учёта сопротивления внешней среды. При экспоненциальном законе возрастания радиуса шара во времени первые и вторые интегралы уравнений движения выражены через известные функции, а также исследованы особенности движения при действии силы Магнуса. Для нахождения угловой скорости вращения шара использован закон сохранения кинетического момента. Рассмотрен также случай движения шара с постоянной угловой скоростью.

Представлено членом-корреспондентом НАН України Я. Бураком

Отримано 17.09.09